

Структура та механічні властивості покріттів з $AlCuNiFeCr$ та $AlCuNiFeCrTi$ високоентропійних сплавів, отриманих електронно-променевим методом

О. І. Юркова, доктор технічних наук, професор

В. В. Чернявський

М. О. Сисоєв, кандидат технічних наук

М. О. Курасова

Національний технічний університет України «КПІ» ім. Ігоря Сікорського, Київ

Методами рентгеноструктурного аналізу, скануючої електронної мікроскопії та мікромеханічних випробувань встановлено, що в результаті електронно-променевого наплавлення на сталеву підкладку багатокомпонентних еквіатомних порошкових сумішей систем $Al-Cu-Ni-Fe-Cr$ та $Al-Cu-Ni-Fe-Cr-Ti$ відбувається утворення покріттів з високоентропійних сплавів, які складаються з твердих розчинів заміщення з ОЦК і ГЦК структурою та мають значно вищу твердість порівняно з вихідними компонентами.

Підвищення надійності та довговічності деталей машин та механізмів шляхом цілеспрямованої зміни структури та властивостей поверхні є актуальним напрямком сучасного матеріалознавства. Помітне місце у вирішенні вказаної проблеми належить методам та технологіям зміни властивостей поверхневого шару шляхом нанесення захисних зміцнювальних покріттів з нових перспективних матеріалів. До таких матеріалів відносяться високоентропійні сплави (ВЕС), перші відомості про які з'явилися в зарубіжних публікаціях у 2004 році [1, 2]. Висока ентропія змішування різних металевих елементів з концентрацією, близькою до еквіатомної, може значно зменшити вільну енергію Гіббса і стабілізувати тверді розчини з простою кристалічною структурою і хорошою комбінацією властивостей [1 – 4]. Таким чином, в ВЕС, з одного боку, появляється можливість формування і збереження багатоелементного твердого розчину заміщення як безпосередньо після його кристалізації, так і при подальшій термічної обробці, а з іншого – в твердому стані сплав набуває унікального поєднання фізико-механічних характеристик. ВЕС можуть застосовуватися в умовах підвищених температур, ударних, динамічних навантажень, тертя, та інших екстремальних експлуатаційних умовах [4, 5].

Виходячи з цього метою роботи є дослідження структури, фазового складу та механічних властивостей високоентропійних багатокомпонентних $AlCuNiFeCr$ та $AlCuNiFeCrTi$ покріттів, отриманих електронно-променевим наплавленням.

Структура і фізико-механічні властивості

В якості вихідної сировини для покриттів обрано порошки Cu, Ni, Al, Fe, Cr та Ti з чистотою > 99,8 % і розміром частинок приблизно 50 мкм в рівних мольних долях. Компоненти покриттів обирали виходячи з умов формування стабільних твердих розчинів у багатокомпонентних ВЕС у відповідності з [6, 7]: висока ентропія змішування ($\Delta S_{mix} > 11 \text{ Дж} \cdot \text{К}^{-1} \cdot \text{моль}^{-1}$), яка є домінуючим фактором, що контролює їх формування; ентальпія змішування $-22 < \Delta H_{mix} < 7 \text{ кДж/моль}$; незначна різниця атомних радіусів д складових елементів ($\delta < 8,5 \%$). Дані розрахунків вказаних параметрів, а також значення концентрації валентних електронів (КВЕ) для AlCuNiFeCr і AlCuNiFeCrTi покриттів зведені в табл. 1. Значення КВЕ знаходяться в діапазоні від 6,87 до 8, що вказує на формування в покриттях твердих розчинів як з ОЦК, так і ГЦК структурою.

Таблиця 1

Ентропія змішування, ΔS_{mix} , ентальпія змішування, ΔH_{mix} , різниця атомних радіусів, δ , та концентрація валентних електронів, КВЕ, для AlCuNiFeCr і AlCuNiFeCrTi покриттів

Покриття	ΔS_{mix} , $\text{Дж} \cdot \text{моль}^{-1} \cdot \text{К}^{-1}$	ΔH_{mix} , кДж/моль	$\delta, \%$	КВЕ, ел/ат
AlCuNiFeCr	13,37	-4,00	4,99	7,6
AlCuNiFeCrTi	14,89	-14,65	6,48	7,0

Змішування порошків вихідних компонентів проводилось протягом 5 хв в планетарному млині. Пресування шихти на сталеву підкладку проводилось на гіdraulічному пресі при тиску 200 МПа/см². Електронно-променеве наплавлення проводили в електронно-променевій установці ЕЛА-6 з наступними параметрами наплавлення: струм зварювання – 16 мА; струм фокусування – 500 мА; форма електронно-променевого пучка – лінія; швидкість переміщення – 5 мм/хв. Покриття досліджували методами мікроструктурного, мікрорентгеноспектрального та рентгеноструктурного аналізу за стандартними методиками за допомогою скануючого електронного мікроскопу-мікроаналізатора РЕММА-101А та рентгенівського дифрактометра Ultima IV, Rigaku. Параметри кристалічних граток a ОЦК- і ГЦК-твердих розчинів розраховували за положенням центрів тяжіння дифракційних максимумів $(211)\beta$ та $(311)\alpha$, відповідно (рис. 1). Мікротвердість покриттів за Віккерсом, HV, визначали на мікротвердомірі ПМТ-3 при навантаженні $F = 1,5 \text{ Н}$ за стандартною методикою.

Дифракційна картина вихідних Al-Cu-Ni-Fe-Cr та Al-Cu-Ni-Fe-Cr-Ti порошкових сумішей представляє суперпозицію рефлексів чистих компонентів (рис. 1 а). На рис. 1 б наведено спектри рентгенівської дифракції AlCuNiFeCr та AlCuNiFeCrTi покриттів. Необхідне відмітити, що дифракційні максимуми від покриттів (рис. 1 б), особливо для AlCuNiFeCrTi сплаву, мають низьку інтенсивність відносно фону, також вони сильно розширені. Це є наслідком значного викривлення кристалічної решітки твердих розчинів, викликане різними розмірами атомних радіусів складових елементів [8].

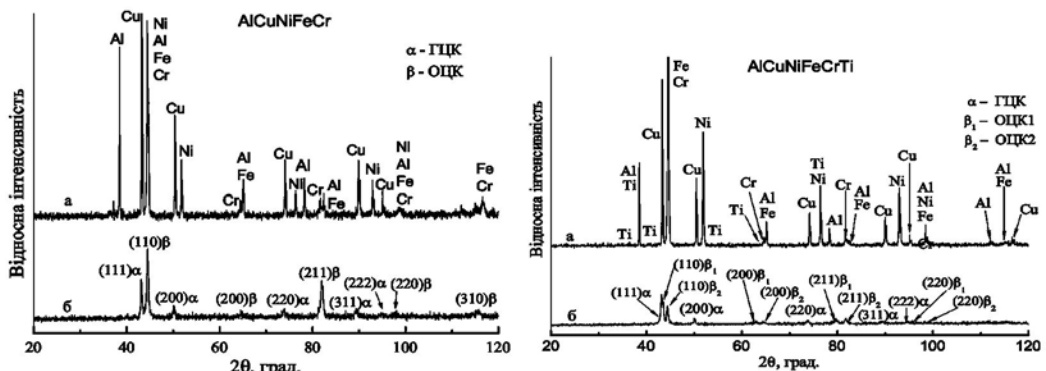


Рис. 1. Дифракційні спектри вихідної суміші порошків (а) і високоентропійних AlNiCuFeCr та AlNiCuFeCrTi покриттів (б), отриманих електронно-променевим наплавленням.

Дані про фазовий склад та періоди решіток утворених фаз представлено в табл. 2. AlCuNiFeCr покриття складається переважно з ОЦК твердого розчину та меншої кількості ГЦК твердого розчину, тоді як AlCuNiFeCrTi покриття містить три фази (тверді розчини) – дві з ОЦК структурою, які відрізняються періодом решітки, та ГЦК твердий розчин. Збільшення періодів решітки як ОЦК, так і ГЦК твердих розчинів при додаванні до сплаву покриття титану пов'язано з тим, що титан має найбільший атомний радіус з поміж інших компонентів.

Таблиця 2

Фазовий склад та період решітки фаз AlNiCuFeCr і AlNiCuFeCrTi покриттів

Покриття	Фазовий склад		Період решітки, <i>a</i> , нм
	Структура	% мас.	
AlCuNiFeCr	ОЦК	68	0,2882
	ГЦК	32	0,3634
AlCuNiFeCrTi	ОЦК1	59	0,2949
	ОЦК2	31	0,2886
	ГЦК	10	0,3641

AlCuNiFeCr і AlCuNiFeCrTi покриття характеризуються дендритним характером кристалізації, причому на мікроструктурі (рис. 2) спостерігаються первинні (темно-сіра фаза) та вторинні (світло-сіра фаза) дендрити. При порівнянні результатів кількісного рентгеноструктурного аналізу (рис. 1, табл. 2) з мікроструктурою (рис. 2), приходимо до висновку, що дендрити (первинні та вторинні) – це тверді розчини на основі фаз зі структурами ОЦК і ГЦК в AlCuNiFeCr покритті та ОЦК₁ і ОЦК₂ в AlCuNiFeCrTi покритті, відповідно. В просторі між первинними і вторинними дендритами кристалізується найбільш легкоплавка фаза, яка має білий колір.

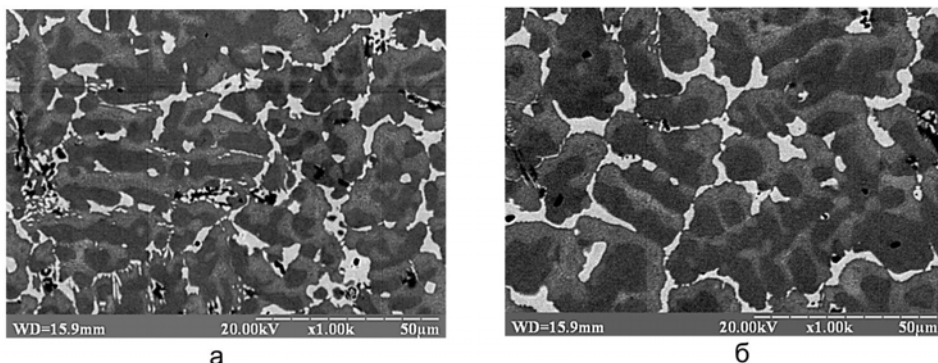


Рис 2. Мікроструктура високоентропійних AlNiCuFeCr (а) та AlNiCuFeCrTi (б) покріттів, отриманих електронно-променевим наплавленням.

Аналіз покріттів в рентгенівському випромінюванні показав, що первинні дендрити збагачені хромом та залізом і збіднені нікелем та міддю (табл. 2). В міждендритній області сплавів спостерігається зворотня картина: вона збіднена більш тугоплавкими металами (хромом, залізом) і збагачена менш тугоплавкими (нікелем, міддю). Алюміній, незважаючи на його великий атомний радіус та низьку температуру плавлення, відносно рівномірно входить як в дендрити, так і в міждендритну область (табл. 3). Підвищений вміст найбільш тугоплавких компонентів сплаву в тілі дендриту, а менш тугоплавких в міждендритній області, є свідченням того, що при кристалізації сплавів в першу чергу кристалізується твердий розчин, збагачений більш тугоплавкими елементами.

Таблиця 3

Хімічний склад та концентрація валентних електронів (КВЕ) AlCuNiFeCr та AlCuNiFeCrTi покріттів

Сплав	Область	Вміст елементів, (% по масі)						КВЕ, ел/ат
		Al	Cu	Ni	Fe	Cr	Ti	
AlCuNiFeCr	Номінальний	20,00	20,00	20,00	20,00	20,00	–	7,60
	Темно-сіра	18,31	7,75	9,30	32,95	31,69	–	6,78
	Світло-сіра	17,12	29,74	28,07	8,96	16,11	–	8,28
	Біла	11,22	66,28	17,90	3,47	1,13	–	9,76
AlCuNiFeCrTi	Номінальний	16,67	16,67	16,67	16,67	16,66	16,66	7,00
	Темно-сіра	12,68	7,13	13,78	21,52	23,69	21,21	6,63
	Світло-сіра	10,64	6,97	13,10	23,96	21,21	24,12	6,55
	Біла	5,66	70,68	6,87	5,52	5,36	5,92	9,63

Решта розплаву поступово насичується менш тугоплавкими елементами і їх підвищений вміст спостерігається в міждендритному просторі, який кристалізується при більш низькій температурі. Міждендритна фаза білого кольору сильно збагачена міддю (66,28 % та 70,68 %) і збіднена іншими елементами.

Розбіжність результатів дослідження мікроструктури (рис. 2 а) та хімічного складу (табл. 3) AlNiCuFeCr покриття, які вказують на формування в покриттях трьох фаз, з результатами рентгенівського фазового аналізу (рис. 1, табл. 2), котрі виявили лише дві фази (ОЦК та ГЦК тверді розчини), обумовлена тим, що різниця атомних радіусів вихідних компонентів приводить до значних викривлень кристалічної решітки твердих розчинів про що свідчить аномально низька інтенсивність дифракційних максимумів відносно фону та їх розширення. При дифракційному аналізі максимуми білої та світло-сірої фаз зливаються, оскільки в них переважають компоненти з близькими значеннями атомних радіусів. Особливістю високоентропійних сплавів є неможливість підтримувати строгий хімічний склад у великому об'ємі матеріалу. У зв'язку з необхідністю підтримувати тип твердого розчину відбувається постійний локальний перерозподіл елементів в кристалічної решітці. Такі коливання в хімічному складі не можуть не відображуватися на викривленні кристалічної решітки, що впливає на фізико-механічні характеристики сплавів.

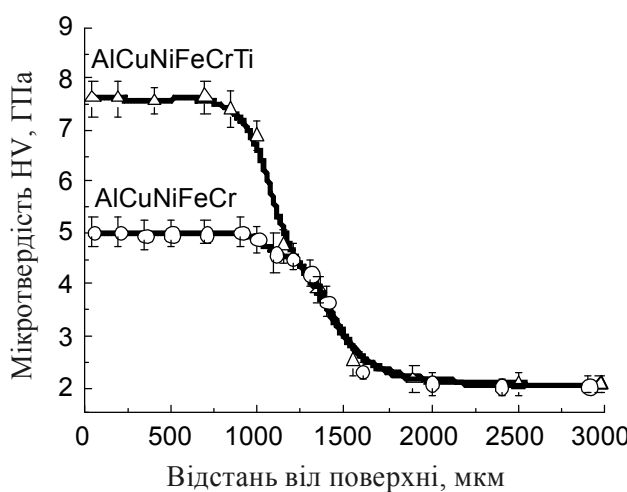


Рис. 3. Зміна мікротвердості HV за товщиною AlNiCuFeCr та AlCuNiFeCrTi покриттів.

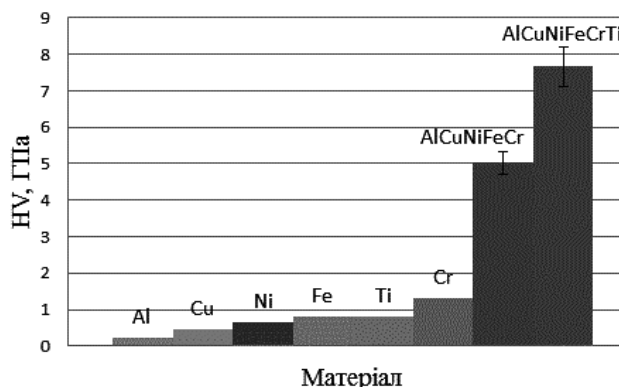


Рис. 4. Мікротвердість HV вихідних компонентів та покриттів AlNiCuFeCr та AlCuNiFeCrTi.

Вимірювання мікротвердості за товщиною AlCuNiFeCr та AlCuNiFeCrTi покриттів (рис. 3) показали, що підвищення твердості при переході з підкладки до покриття відбувається поступово завдяки утворенню переходної зони між підкладкою та покриттям, що підтверджується електронно-мікроскопічними дослідженнями, які виявили наявність переходної зони, що містить в собі всі вихідні компоненти з переважаючою концентрацією хрому та заліза.

Мікротвердість AlNiCuFeCr покриття становить 5,0 ГПа, а мікротвердість AlCuNiFeCrTi покриття – 7,7 ГПа, що значно перевищує цю характеристику для вихідних компонентів по-рошкових сумішей (рис. 4). Більш високе значення твердості AlCuNiFeCrTi сплаву,

Структура і фізико-механічні властивості

порівняно з AlCuNiFeCr сплавом (рис. 3, 4), пояснюється наявністю в ньому титану, який має найбільший атомний радіус серед компонентів та викликає найбільше викривлення кристалічної решітки твердих розчинів, що сприяє зміцненню сплаву.

Таким чином на прикладі багатокомпонентних порошкових сумішей Al-Cu-Ni-Fe-Cr і Al-Cu-Ni-Fe-Cr-Ti систем показана можливість формування методом електронно-променевого наплавлення покріттів з високо-ентропійних сплавів, які складаються з твердих розчинів заміщення з ОЦК та ГЦК структурою та містять всі вихідні компоненти. Встановлено, що в багатокомпонентних покріттях спостерігається дендритний характер кристалізації, а розподіл хімічних елементів в об'ємі покріттів відрізняється від номінального та є істотно неоднорідним. Високі значення мікротвердості покріттів обумовлені переважним формуванням ОЦК твердих розчинів заміщення з сильним спотворенням кристалічної решітки завдяки різниці атомних радіусів елементів (композиційний фактор зміцнення на рівні кристалічної решітки).

Література

1. Yeh J.W., Chen S.K., Lin S.J., and et. al. Nanostructured high-entropy alloys with multiple principal elements; novel alloy design concepts and outcomes // *J. Adv. Eng. Mater.* - 2004. V. 6, No 5. - P. 299-303.
2. J.W. Yeh, S.K. Chen, J.Y. Gan, and et. al. Formation of simple crystal structures in Cu-Co-Ni-Cr-Al-Fe-Ti-V alloys with multiprincipal metallic elements // *J. Metall. Mater. Trans. A.* - 2004. - V. 35A, No 8. - P. 2533-2536.
3. Yang X., Zhang Y., Liaw P.K. Microstructure and Compressive Properties of NbTiVTaAl_x High Entropy Alloys // *Procedia Engineering.* - 2012. - V. 36. - P. 292-298.
4. Yeh J.-W., Chen Y.-L., Lin S.-J. High-Entropy Alloys – A New Era of Explotation // Materials Science Forum. - 2007. - V. 560. - P. 1 – 9.
5. Pi J.H., Pan Y., Zhang L., Zhang H. Microstructure and property of AlTiCrFeNiCu high-entropy alloy // *Alloys and Compounds.* - 2011. - V. 18, No 509. - P. 5641-5645.
6. Guo S., Liu C.T. Phase stability in HEAs: Formation of solid-solution phase or amorphous phase // *Progress in Material Scince: Materials International.* - 2011. - V. 21. - P. 433-446.
7. А.И. Юркова, В.В. Чернявський, Ю.М. Романенко. Структура та фазовий склад високоентропійного AlCuNiFeTi сплаву, отриманого методом механічного легування // Металознавство та обробка металів. - 2014. - № 4. - С. 11-18.
8. Yeh J.-W., Chang S.-Y., Hong Y.- D., Chen S.-K., Lin S.-J. Anomalous decrease in X-ray diffraction intensities of Cu-Ni-Al-Co-Cr-Fe-Si alloy systems with multi-principal elements // *J. Mater. Chem. Phys.* - 2007. - V. 103, No 41. - P. 41 - 46.

References

1. Yeh J.W., Chen,S.K.,Lin,S.J.,and et. al. (2004). Nanostructured high-entropy alloys with multiple principal elements; novel alloy design concepts and outcomes. *J. Adv. Eng. Mater.*, 6, No 5, p. 299-303. [in English].

Структура і фізико-механічні властивості

2. Yeh J.W., Chen S.K., Gan J.Y., and et. al. (2004). Formation of simple crystal structures in Cu-Co-Ni-Cr-Al-Fe-Ti-V alloys with multi principal metallic elements. *J. Metall. Mater. Trans. A*, 35A, No 8, p. 2533-2536. [in English].
3. Yang X., Zhang Y., Liaw P.K. (2012). Microstructure and Compressive Properties of NbTiVTaAl_x High Entropy Alloys. *Procedia Engineering*. 36, p. 292-298. [in English].
4. Yeh J.-W., Chen Y.-L., Lin S.-J. (2007). High-Entropy Alloys – A New Era of Explotation. *Materials Science Forum*, 560, p. 1 – 9. [in English].
5. Pi J.H., Pan Y., Zhang L., Zhang H. (2011). Microstructure and property of AlTiCrFeNiCu high-entropy alloy. *J. of Alloys and Compounds*, 509, No 509, p. 5641-5645. [in English].
6. Guo S., Liu C.T. (2011). Phase stability in HEAs: Formation of solid-solution phase or amorphous phase. *Progress in Material Scince: Materials International*, 21, p. 433-446. [in English].
7. Yurkova A.I., Chernyavskyi V.V., Romanenko Y.M. (2014). Struktura ta fazovyi sklad vysokoentropyinogo AlCuNiFeTi splava [Structure and phase composition of high-entropy AlCuNiFeTi alloy resulted from mechanical alloying] *Metaloznavstvo ta obrobka metaliv – Metal Science & Treatment of Metals*, 4, p. 11-18. [in Ukraine].
8. Yeh J.-W., Chang S.-Y., Hong Y.- D., Chen S.-K., Lin S.-J. (2007). Anomalous decrease in X-ray diffraction intensities of Cu-Ni-Al-Co-Cr-Fe-Si alloy systems with multi-principal elements. *J. Mater. Chem. Phys.*, 103, No 41, p. 41 - 46. [in English].

Одержано 13.10.16

А. И. Юркова, В. В. Чернявский, М. А. Сисоев, М. О. Курасова

Структура и механические свойства покрытий из AlCuNiFeCr и AlCuNiFeCrTi высокоэнтропийных сплавов, полученных электронно-лучевой наплавкой

Резюме

Методами рентгеноструктурного анализа, сканирующей электронной микроскопии и микромеханических испытаний установлено, что в результате электронно-лучевой наплавки на стальную подложку эвакуационных порошковых смесей систем Al-Cu-Ni-Fe-Cr и Al-Cu-Ni-Fe-Cr-Ti формируются многокомпонентные высокоэнтропийные покрытия, состоящие из твердых растворов замещения с ОЦК и ГЦК структурой, микротвердость которых значительно превосходит микротвердость исходных компонентов.

A. I. Yurkova, V. V. Cherniavskyi, M. A. Sysoev, M. O. Kurasova

Structure and mechanical properties of high-entropy AlCuNiFeCr and AlCuNiFeCrTi coatings obtained by electron beam surfacing

Summery

AlCuNiFeCr and AlCuNiFeCrTi high entropy alloy coatings have been deposited by electron beam surfacing on steel. The microstructure, chemical composition, and constituent phases of the synthesized coatings were characterized by SEM, energy dispersive spectrometer (EDS), and X-ray diffraction analyses, respectively. Microhardness was also evaluated. Experimental results demonstrate that the AlCuNiFeCr and AlCuNiFeCrTi coatings are composed of only substitutional solid solutions with BCC and FCC structure. The hardness of high entropy AlCuNiFeCr and AlCuNiFeCrTi coatings is much higher than that of the initial components and than the one of the substrate. For the coating with Ti the microhardness increases to HV=7.5 GPa.